



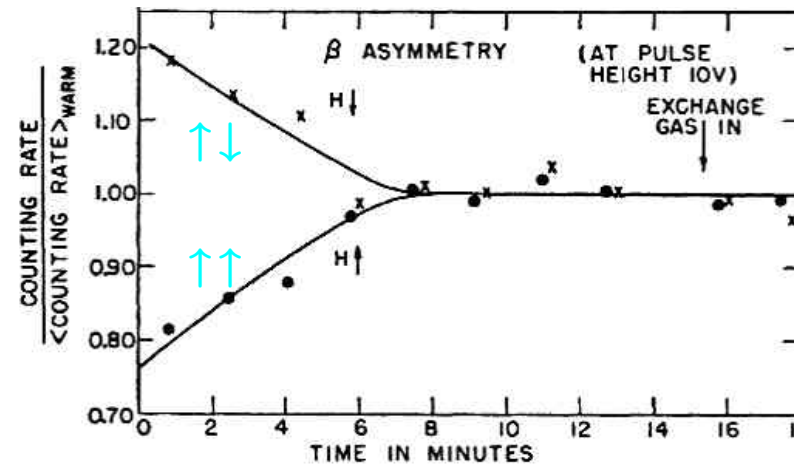
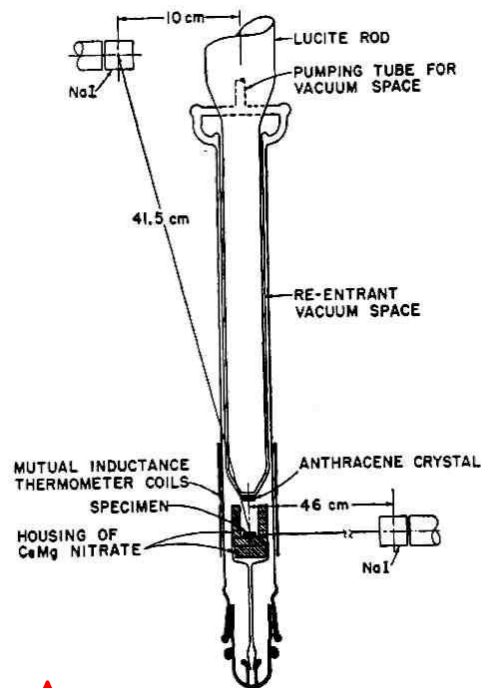
-
1. Einführung
 2. Beschleuniger
 3. Detektoren
 4. Bewegungsgleichungen und Symmetrien
 5. Das Quark-Modell und die CKM-Matrix
 6. CP-Verletzung im Standardmodell
 7. Proton- und Photonstruktur
 - 8. Elektroschwache Präzisionsmessungen**
 9. Das Higgs-Boson
 10. Neutrino-Massen und Neutrino-Oszillationen



Das Wu Experiment - die Händigkeit von Teilchen

– Die untersuchte Reaktion ist: ${}_{27}^{60}\text{Co}(J = 5) \rightarrow {}_{28}^{60}\text{Ni}^*(J = 4) e^- \bar{\nu}_e$. Deswegen muss das System aus e^- und $\bar{\nu}_e$ den Spin $J = 1$ haben.

- Das Ausrichten der Co Kerne erfolgt durch ein starkes Magnetfeld bei niedriger Temperatur.
- Die Polarisation des Co Targets wird durch die Anisotropie der ausgestrahlten Photonen des angeregten Nickel Kerns mit Hilfe von NaJ Szintillatoren gemessen.
- Die auslaufenden Elektronen werden durch Szintillationslicht in einem Anthrazen Kristall nachgewiesen.



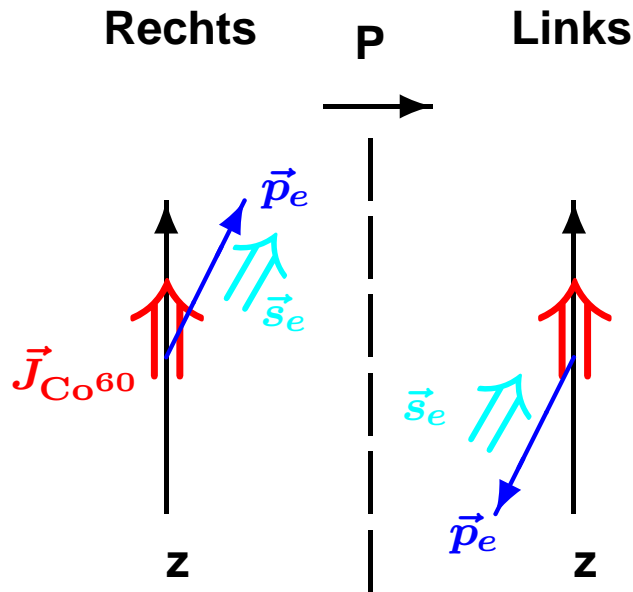
- Die Elektronen werden bevorzugt entgegengesetzt zum Kernspin ausgestrahlt.
- Elektronen sind also bevorzugt Linkshänder $\vec{s}_e \uparrow \downarrow \vec{p}_e$ und keine Rechtshänder, $\vec{s}_e \uparrow \uparrow \vec{p}_e$.

$$\uparrow_5 = \uparrow_4 + \uparrow_{\frac{1}{2}} \uparrow_{\frac{1}{2}}$$

Die Schwache Wechselwirkung unterscheidet also zwischen Rechts und Links.



Das Wu Experiment - die Paritätsverletzung



- Die Paritätstransformation dreht den Impuls um: $P|\vec{p}_e\rangle = -|\vec{p}_e\rangle$, aber nicht den Spin, $P|\vec{s}_e\rangle = |\vec{s}_e\rangle$ und $P|\vec{J}\rangle = |\vec{J}\rangle$.
- Masselose, $\beta \equiv c$, Fermionen sind Linkshänder, $\vec{s}_f \uparrow \downarrow \vec{p}_f$, Antifermionen sind Rechtshänder $\vec{s}_{\bar{f}} \uparrow \uparrow \vec{p}_{\bar{f}}$.
- Bei massiven Fermionen ist die falsche Händigkeit mit β unterdrückt, $\langle \lambda_f \rangle = -\frac{1}{2}\beta_f$, mit $\lambda = \frac{\vec{s}\vec{p}}{|\vec{p}|}$.

- Ein weiteres Beispiel für diese Unterdrückung ist der Pion-Zerfall, $s_\pi = 0$, bei dem die geladenen Leptonen mit der falschen Händigkeit auftreten müssen.

$$\frac{\sigma(\pi^+ \rightarrow e^+ \nu_e)}{\sigma(\pi^+ \rightarrow \mu^+ \nu_\mu)} = \frac{\text{Diagram 1}}{\text{Diagram 2}} \approx 10^{-4}.$$

- Wegen $\frac{m_\mu}{m_e} \approx 200$ ist $\beta_e \gg \beta_\mu$ und deswegen der Zerfall in Elektronen stärker unterdrückt.

Das Wu Experiment ist die Manifestation der Paritätsverletzung in der schwachen WW.



Die Grundlagen des elektroschwachen Standardmodells

- Die linkshändigen Dubletts $\begin{pmatrix} \nu_e \\ e \end{pmatrix}_L$ $\begin{pmatrix} u \\ d' \end{pmatrix}_L$ bekommen nun ihre tiefere Bedeutung.

Sie sind Eigenzustände zum **schwachen Isospin** mit $I_3 = +\frac{1}{2}$ ($-\frac{1}{2}$) für oben (unten).

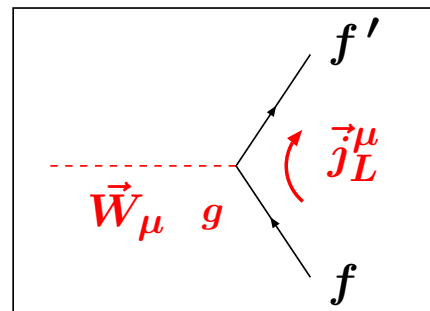
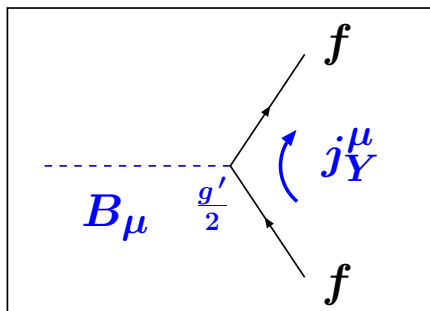
- Zusätzlich gibt es noch rechtshändige Singulets, $I_3 = 0$, z.B. e_R , außer für die Neutrinos.

- Weiterhin wird den Teilchen eine **schwache Hyperladung** Y zugeordnet, sodass die Beziehung $Q = I_3 + \frac{Y}{2}$ erfüllt ist.

Damit ergibt sich die folgende Zuordnung der Quantenzahlen zu den Fermionen der ersten Generation:

	ν_e	e	e_R	u	d'	u_R	d'_R
I_3	$\frac{1}{2}$	$-\frac{1}{2}$	0	$\frac{1}{2}$	$-\frac{1}{2}$	0	0
Y	-1	-1	-2	$\frac{1}{3}$	$\frac{1}{3}$	$\frac{4}{3}$	$-\frac{2}{3}$
Q	0	-1	-1	$\frac{2}{3}$	$-\frac{1}{3}$	$\frac{2}{3}$	$-\frac{1}{3}$

- Die Eichgruppe $U(1)_Y \times SU(2)_L$ koppelt mit den Eichbosonen B_μ und \vec{W}_μ an die



Ströme j_Y^μ und \vec{j}_L^μ der **Hyperladung** Y und des **schwachen Isospins** I . Die Kopplungsstärken sind $g'/2$ und g .

- Die physikalischen Zustände sind aber nicht B_μ und \vec{W}_μ , sondern W^\pm , Z und γ .

Im Glashow-Weinberg-Salam Modell werden die physikalischen Zustände konstruiert.



Die Fermion-Boson Kopplungen im GSW Modell

- Die physikalischen Zustände, W^\pm , Z und γ sind Linearkombinationen aus B_μ und $W_{\mu i}$.

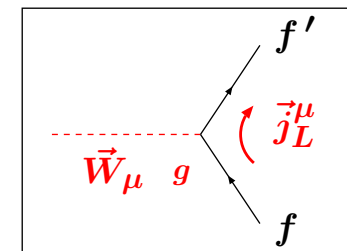
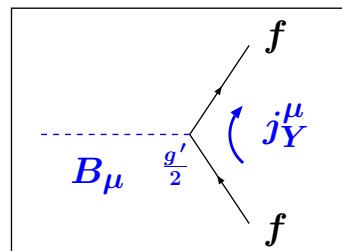
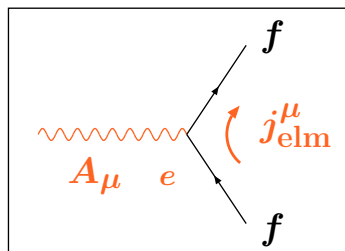
$$W_\mu^\pm = \frac{1}{\sqrt{2}}(W_{\mu 1} \pm W_{\mu 2})$$

$$Z_\mu = -B_\mu \sin \theta_W + W_{\mu 3} \cos \theta_W \quad \Rightarrow \quad B_\mu = -Z_\mu \sin \theta_W + A_\mu \cos \theta_W$$

$$A_\mu = B_\mu \cos \theta_W + W_{\mu 3} \sin \theta_W \quad \Rightarrow \quad W_{\mu 3} = Z_\mu \cos \theta_W + A_\mu \sin \theta_W$$

- Der **Weinberg Winkel** mischt die Eichbosonen derart, dass das **Photon** masselos wird, das **Z-Boson** aber eine Masse erhält. Dieser Higgs-Mechanismus wird später in einer separaten Vorlesung behandelt.
- Die Wechselwirkungen werden durch Terme der folgenden Form beschrieben.

$H = -i \cdot \text{Kopplungskonstante} \cdot \text{Ladungs-Strom} \cdot \text{Boson-Feld}$



$$H_{\text{elm}} = -ie j_{\text{elm}}^\mu A_\mu \quad H_Y = -i \frac{g'}{2} j_Y^\mu B_\mu \quad H_L = -ig \vec{j}_L^\mu \vec{W}_\mu$$

- Wegen $Q = I_3 + \frac{Y}{2}$ folgt dann $j_{\text{elm}}^\mu = j_{L3}^\mu + \frac{1}{2} j_Y^\mu$.
- Die Aufgabe ist nun, in $H_{\text{neutral}} = H_{L3} + H_Y$ die unphysikalischen Felder B_μ und $W_{\mu 3}$ durch die physikalischen Bosonen Z_μ und A_μ zu ersetzen.



Vereinigung von elektromag. und schwacher Kraft

– Aus $H_{\text{neutral}} = H_{L3} + H_Y = -ig j_{L3}^\mu W_{\mu 3} - i\frac{g'}{2} j_Y^\mu B_\mu$ folgt mit

$$B_\mu = -Z_\mu \sin \theta_W + A_\mu \cos \theta_W \quad \text{und} \quad W_{\mu 3} = Z_\mu \cos \theta_W + A_\mu \sin \theta_W$$

$$H_{\text{neutral}} = \underbrace{-i(g \sin \theta_W j_{L3}^\mu + g' \cos \theta_W \frac{j_Y^\mu}{2})}_{\text{elm}} A_\mu - \underbrace{i(g \cos \theta_W j_{L3}^\mu - g' \sin \theta_W \frac{j_Y^\mu}{2})}_{\text{NC}} Z_\mu$$

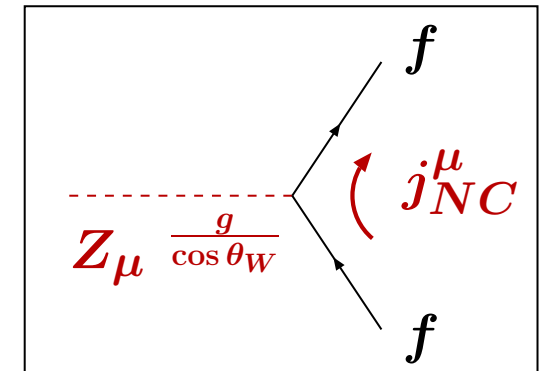
– Der Vergleich des ersten Terms mit $H_{\text{elm}} = -ie j_{\text{elm}}^\mu A_\mu$ und $e j_{\text{elm}}^\mu = e j_{L3}^\mu + e \frac{1}{2} j_Y^\mu$ liefert die Vereinigung der Kopplungen

$$e = g \sin \theta_W = g' \cos \theta_W.$$

– Der zweite Term wird weiter umgeformt:

$$\begin{aligned} H_{\text{NC}} &= -i \left(g \cos \theta_W j_{L3}^\mu - g \frac{\sin^2 \theta_W}{\cos \theta_W} [j_{\text{elm}}^\mu - j_{L3}^\mu] \right) Z_\mu \\ &= -i \frac{g}{\cos \theta_W} [j_{L3}^\mu - \sin^2 \theta_W j_{\text{elm}}^\mu] Z_\mu \end{aligned}$$

– Damit ist die Z_μ Wechselwirkung zu $H_{\text{NC}} = -i \frac{g}{\cos \theta_W} j_{\text{NC}}^\mu Z_\mu$ mit dem Strom $j_{\text{NC}}^\mu = j_{L3}^\mu - \sin^2 \theta_W j_{\text{elm}}^\mu$ festgelegt.



Im GWS Modell sind die elektromagnetische und die schwache Wechselwirkung vereinigt.



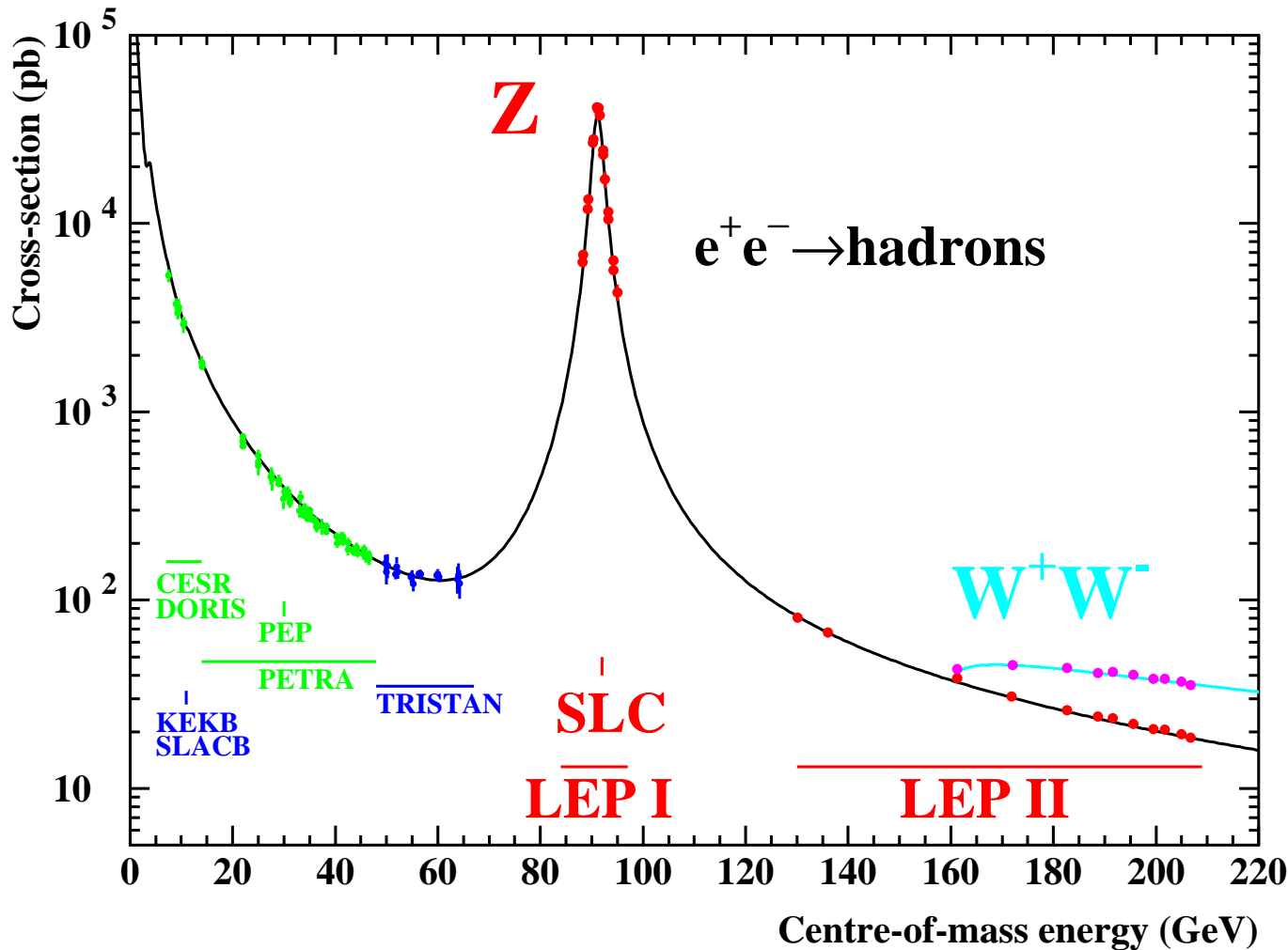
Vektor- und Axialvektor-Kopplungen

- Mit $j_{L3}^\mu = \bar{\Psi} \gamma^\mu \frac{1}{2} (1 - \gamma^5) I_3 \Psi$ und $j_{\text{elm}}^\mu = \bar{\Psi} \gamma^\mu Q \Psi$ folgt für $j_{\text{NC}}^\mu = j_{L3}^\mu - \sin^2 \theta_W j_{\text{elm}}^\mu$
$$j_{\text{NC}}^\mu = \bar{\Psi} \gamma^\mu \frac{1}{2} [(1 - \gamma^5) I_3 - 2 \sin^2 \theta_W Q] \Psi = \bar{\Psi} \gamma^\mu \frac{1}{2} [(I_3 - 2 \sin^2 \theta_W Q) - \gamma^5 I_3] \Psi.$$
- Wegen des Transformationsverhaltens von $V \equiv \bar{\Psi} \gamma^\mu \Psi$ und $A \equiv \bar{\Psi} \gamma^\mu \gamma^5 \Psi$ bezeichnet man die Wechselwirkung als V – A Wechselwirkung und die Kopplungen dementsprechend mit $g_V \equiv (I_3 - 2 \sin^2 \theta_W Q)$ und $g_A \equiv I_3$, also $\sin^2 \theta_W = \frac{1}{4} \left(1 - \frac{g_V}{g_A}\right)$.
- Der Axialvektorstrom koppelt also nur an linkshändige Fermionen, der Vektorstrom aber sowohl an links- als auch an rechtshändige Fermionen.
- Mit der Definition $g_{V,A} = g_L \pm g_R$ folgt $\frac{1}{2} (g_V - g_A \gamma^5) = g_L \frac{1}{2} (1 - \gamma^5) + g_R \frac{1}{2} (1 + \gamma^5)$
- In der Weyl-Darstellung der Gamma Matrizen ist $\gamma^5 \equiv \begin{pmatrix} -I & 0 \\ 0 & I \end{pmatrix}$, damit gilt
$$P_L \equiv \frac{1}{2} (I - \gamma^5) = \begin{pmatrix} I & 0 \\ 0 & 0 \end{pmatrix} \quad \text{und} \quad P_R \equiv \frac{1}{2} (I + \gamma^5) = \begin{pmatrix} 0 & 0 \\ 0 & I \end{pmatrix}.$$
- Dies sind die Projektoren der links- und rechtshändigen Komponenten χ und ϕ des Spinors $\Psi = \begin{pmatrix} \chi \\ \phi \end{pmatrix}$ mit $P_L \Psi = \chi$ und $P_R \Psi = \phi$.

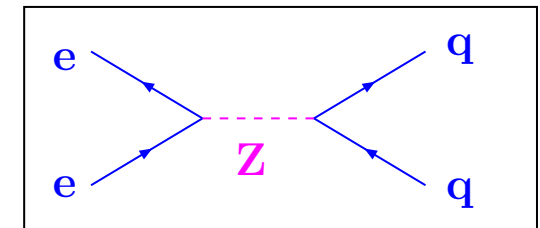
Wegen des QED Anteils koppelt j_{NC}^μ auch an rechtshändige Fermionen.



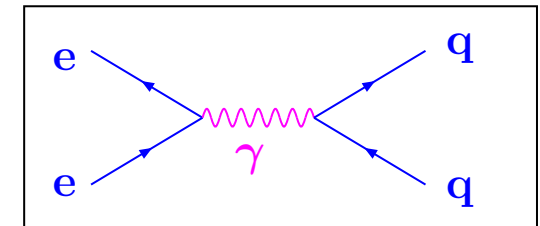
Der Wirkungsquerschnitt $e^+e^- \rightarrow \text{Hadronen}$



– Unterhalb der W-Boson Schwelle setzt sich der Wirkungsquerschnitt aus:



+



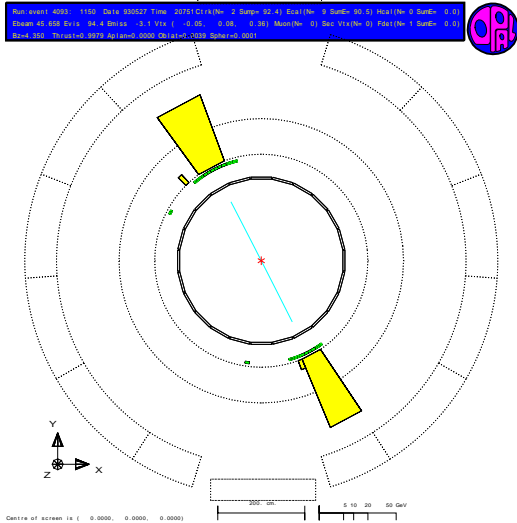
+

der Interferenz der beiden Graphen zusammen.

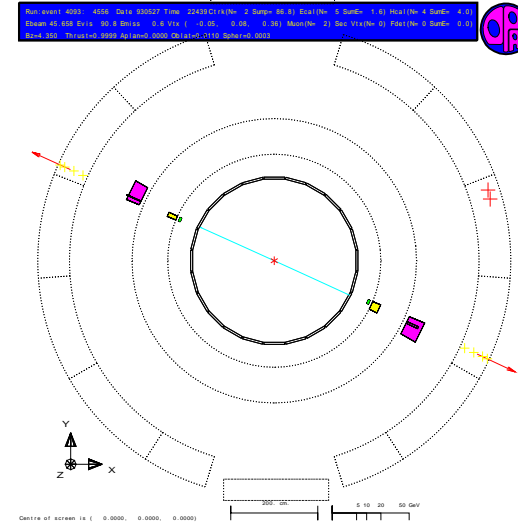
Dies ist das Resultat kontinuierlicher Messungen über mehrere Jahrzehnte.



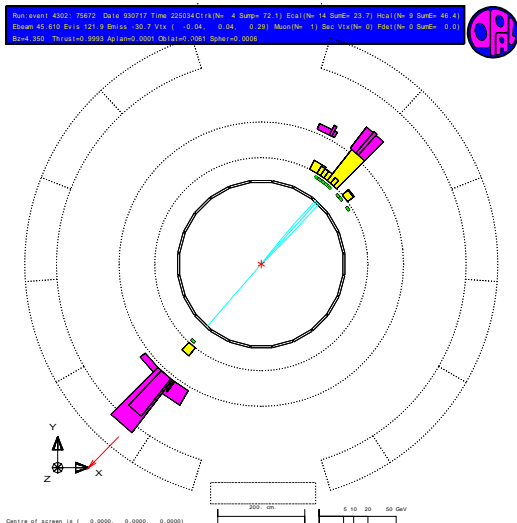
Der Zerfälle des Z-Bosons



$$Z \rightarrow e^+ e^-$$

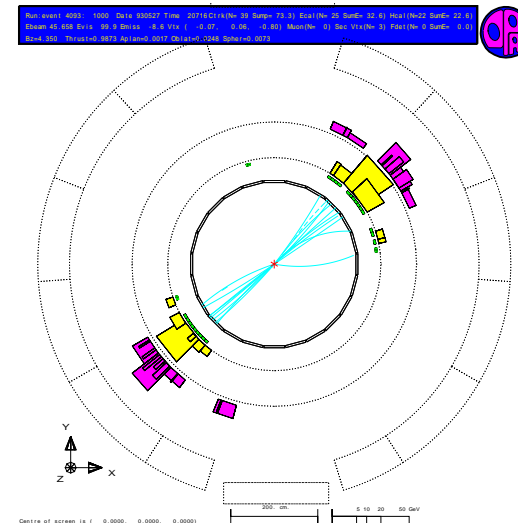


$$Z \rightarrow \mu^+ \mu^-$$



$$Z \rightarrow \tau^+ \tau^-$$

$N_{e^+e^-} = 1724k$
 für die 4 LEP Experimente zusammen



$$Z \rightarrow q\bar{q}$$

$N_{q\bar{q}} = 15497k$

$$\sigma = \frac{N - N_{\text{bgd}}}{\epsilon \mathcal{L}_{\text{int}}}$$

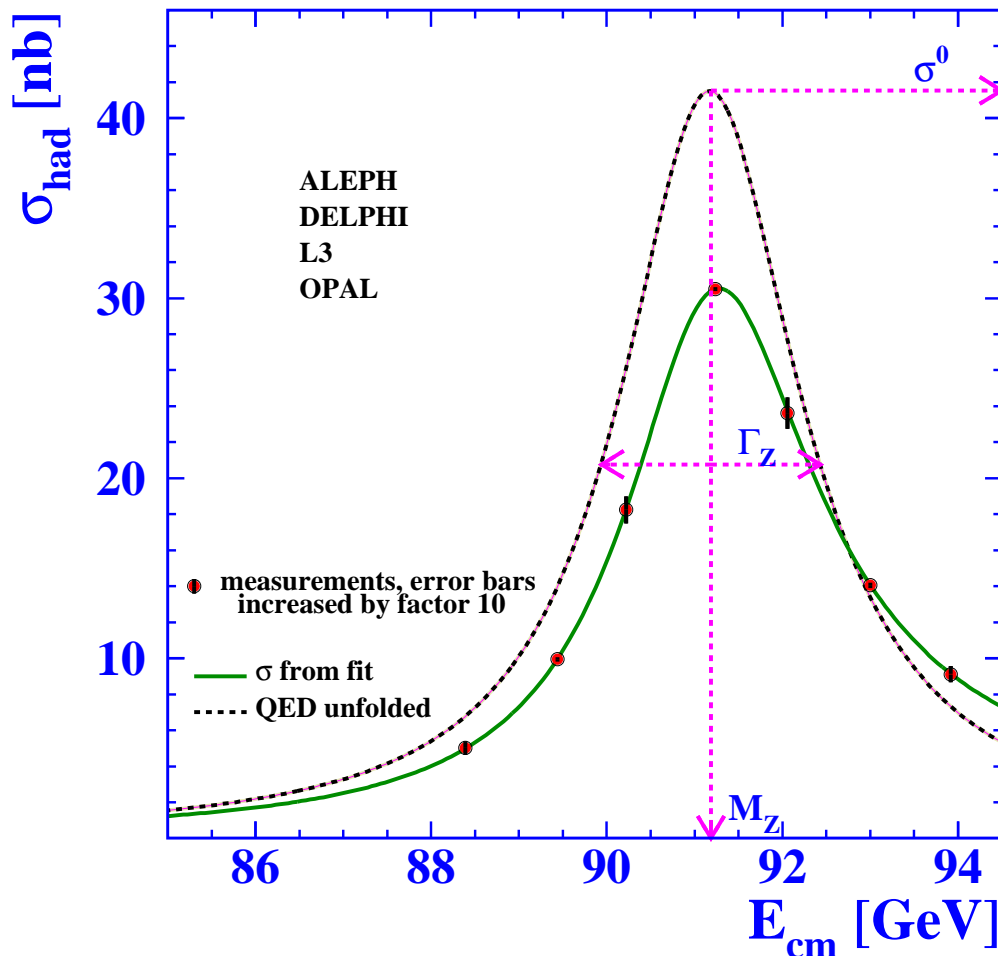
$$\mathcal{L}_{\text{int}} \approx 160 \text{ pb}^{-1}$$

Die Aufgabe besteht darin, die Zerfallskanäle zu erkennen und die Ereignisse zu zählen.



Die Anregungskurve des Z-Bosons im Standardmodell

Die Z-Anregungskurve



- Im Standardmodell wird die Z-Resonanz durch die Shape Parameter, m_Z , Γ_Z , σ_h^0 , die Verzweigungsverhältnisse, R_e , R_μ , R_τ , und die Forwärts-Rückwärts Asymmetrien, A_{FB}^e , A_{FB}^μ , A_{FB}^τ , bestimmt.

$$\sigma_h^0 = \frac{12 \pi}{m_Z^2} \frac{\Gamma_{ee} \Gamma_{\text{had}}}{\Gamma_Z^2}$$

$$R_e = \frac{\Gamma_{\text{had}}}{\Gamma_{ee}}, \quad R_\mu = \frac{\Gamma_{\text{had}}}{\Gamma_{\mu\mu}}, \quad \text{und} \quad R_\tau = \frac{\Gamma_{\text{had}}}{\Gamma_{\tau\tau}}$$

$$A_{\text{FB}}^f = \frac{3}{4} A_e A_f \quad \text{mit} \quad A_f = \frac{2g_{vf}g_{af}}{g_{vf}^2 + g_{af}^2}$$

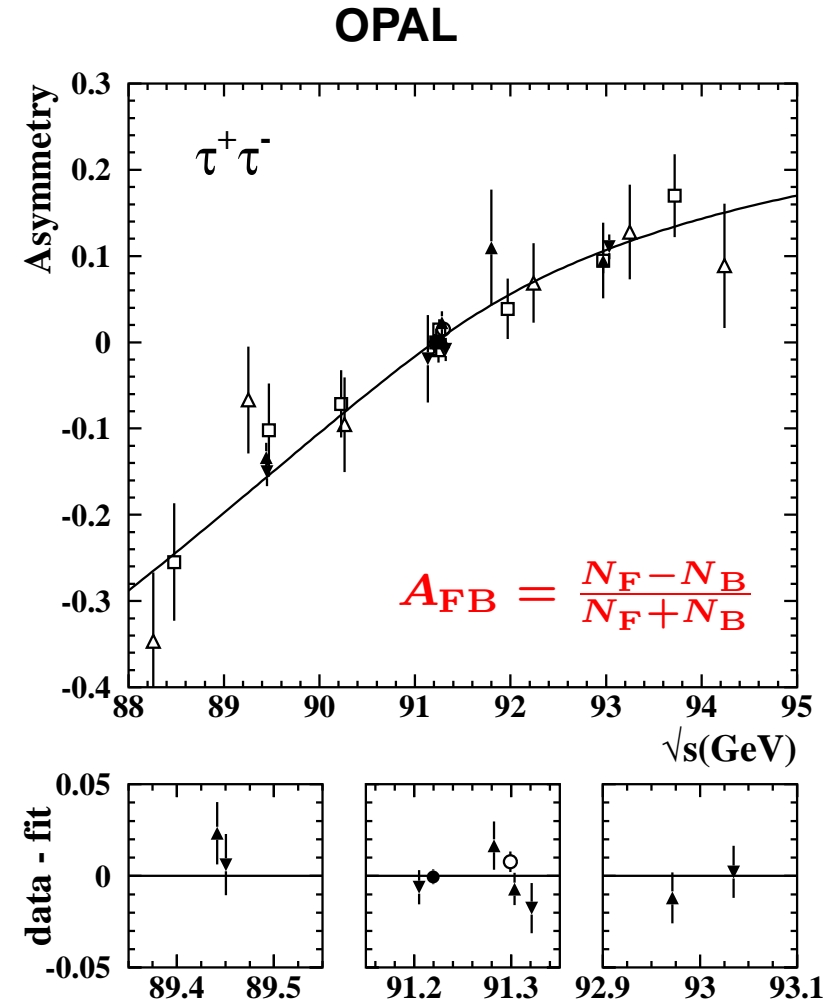
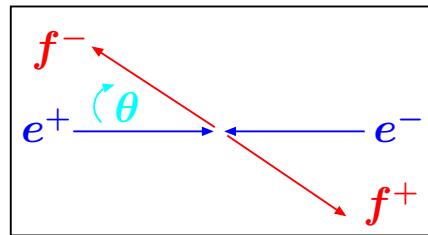
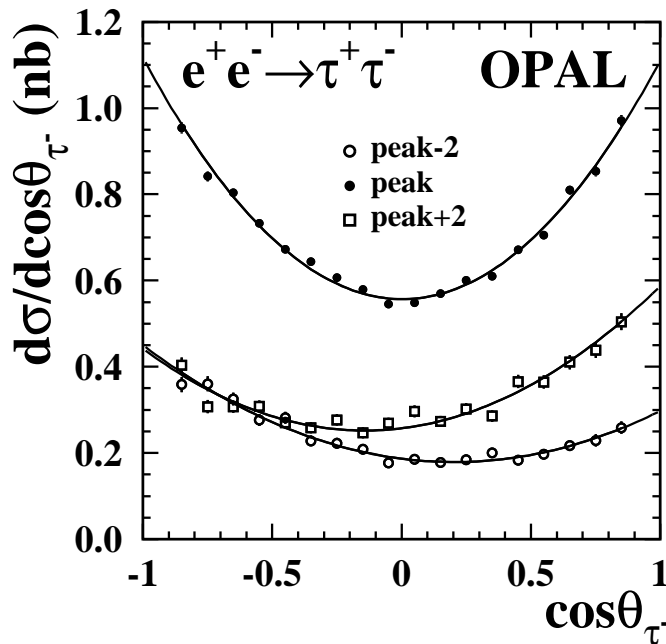
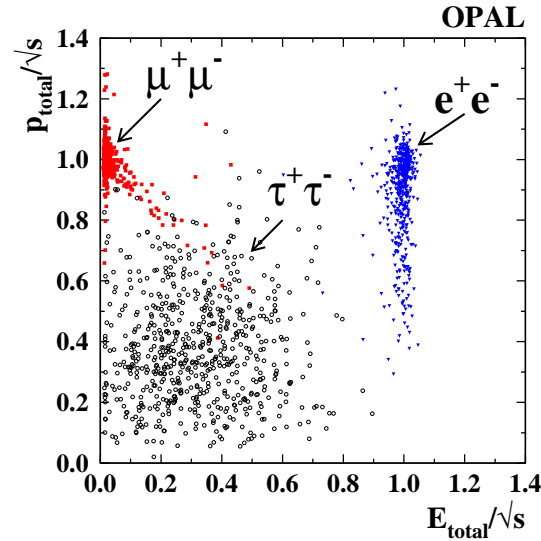
- Dieser Satz von Parametern hat die kleinsten Korrelationen und ist deswegen optimal zur Kombination der Resultate der vier LEP Experimente.

Im LEPI Programm von 1989-1995 wurden diese Parameter mit großer Genauigkeit bestimmt.



Messung der Forward-Backward Asymmetrie

– Die Trennung der Zerfallskanäle ist relativ einfach

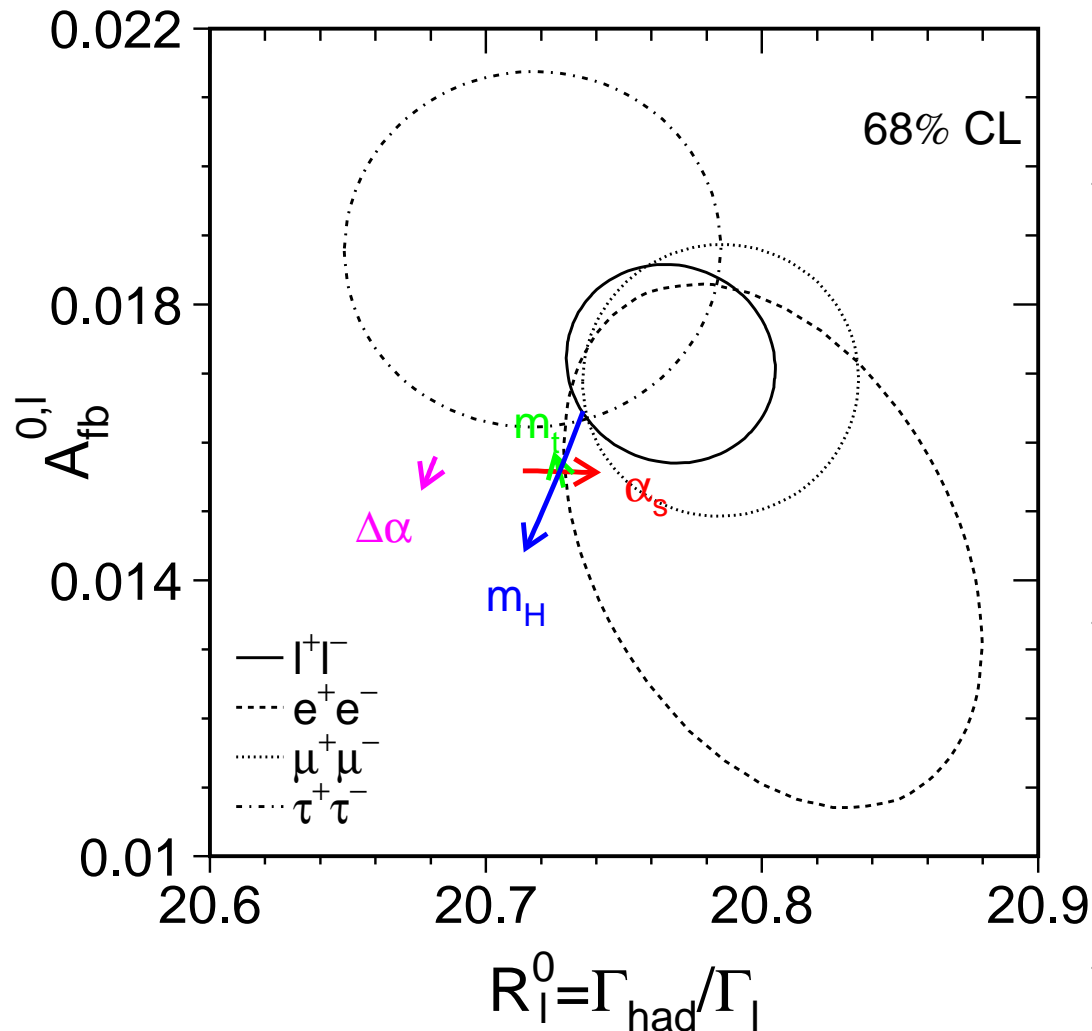


$$\frac{d\sigma}{d\cos\theta} = C \left[(1 + \cos^2\theta) + \frac{8}{3} A_{FB} \cos\theta \right]$$

Es gibt Messungen für alle Lepton- und Quarksorten an vielen Energiepunkten.



Der Test der Lepton-Universalität



- Im Falle der Leptonuniversalität gilt:
 - 1) $R_e = R_\mu = R_\tau \equiv R_\ell = \frac{\Gamma_{\text{had}}}{\Gamma_{\ell\ell}}$
 - 2) $A_{\text{FB}}^e = A_{\text{FB}}^\mu = A_{\text{FB}}^\tau \equiv A_{\text{FB}}^\ell$
- Nach Anbringen von Massenkorrekturen wegen $m_e : m_\mu : m_\tau \approx 1 : 200 : 3500$, ist die Lepton-Universalität in sehr guter Näherung erfüllt.

$$R_\ell = 20.767 \pm 0.025$$

$$A_{\text{FB}}^\ell = 0.0171 \pm 0.0010$$

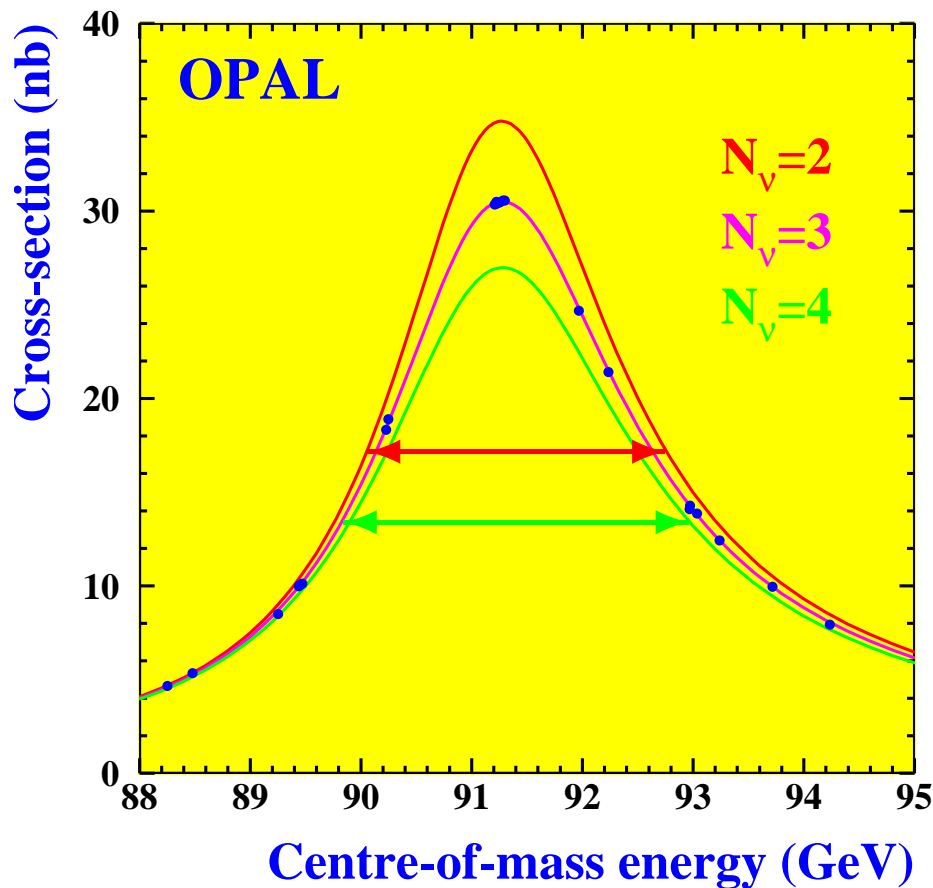
- Das bedeutet:
 - 1) Das Z zerfällt zu 10% in geladene Leptonen.
 - 2) Die Lepton-Asymmetrie $A_{\text{FB}}^\ell = \frac{N_{\text{F},\ell} - N_{\text{B},\ell}}{N_{\text{F},\ell} + N_{\text{B},\ell}}$ beträgt 1.7%.
- Damit reduziert sich der Satz auf 5 Parameter: $m_Z, \Gamma_Z, \sigma_h^0, R_\ell, A_{\text{FB}}^\ell$.

Alle Leptonen koppeln mit der gleichen Stärke an das Z-Boson.



Die Anzahl der Generationen leichter Neutrinos

- Aus der unsichtbaren Breite der Z-Resonanz kann man die Anzahl der Generationen leichter Neutrinos bestimmen: $\Gamma_{\text{inv}} = \Gamma_Z - \Gamma_{\text{had}} - \Gamma_{\text{had}} \left(\frac{1}{R_e} + \frac{1}{R_\mu} + \frac{1}{R_\tau} \right)$.
- Die hadronische Breite Γ_{had} erhält man aus σ_h^0 unter Benutzung von Γ_Z , m_Z und R_e ,



$$\Gamma_{\text{had}} = \left(\frac{\sigma_h^0 m_Z^2 \Gamma_Z^2 R_e}{12 \pi} \right)^{\frac{1}{2}} = m_Z \Gamma_Z \left(\frac{\sigma_h^0 R_e}{12 \pi} \right)^{\frac{1}{2}}$$

$$= \Gamma_Z \cdot 0.70 = 1.7444 \pm 0.00020 \text{ GeV}$$

$$\Gamma_{\text{inv}} = 0.4990 \pm 0.0015 \text{ GeV}$$

- Damit ist das Verhältnis der unsichtbaren zur leptonischen Breite :

$$\frac{\Gamma_{\text{inv}}}{\Gamma_{\ell\ell}} = \frac{\Gamma_{\text{inv}}}{\Gamma_{\text{had}}} / \frac{\Gamma_{\ell\ell}}{\Gamma_{\text{had}}} = 5.942 \pm 0.016$$

- Die Standardmodellvorhersage ist:

$$\frac{\Gamma_{\nu\nu}}{\Gamma_{\ell\ell}} = 1.9912 \pm 0.0012$$

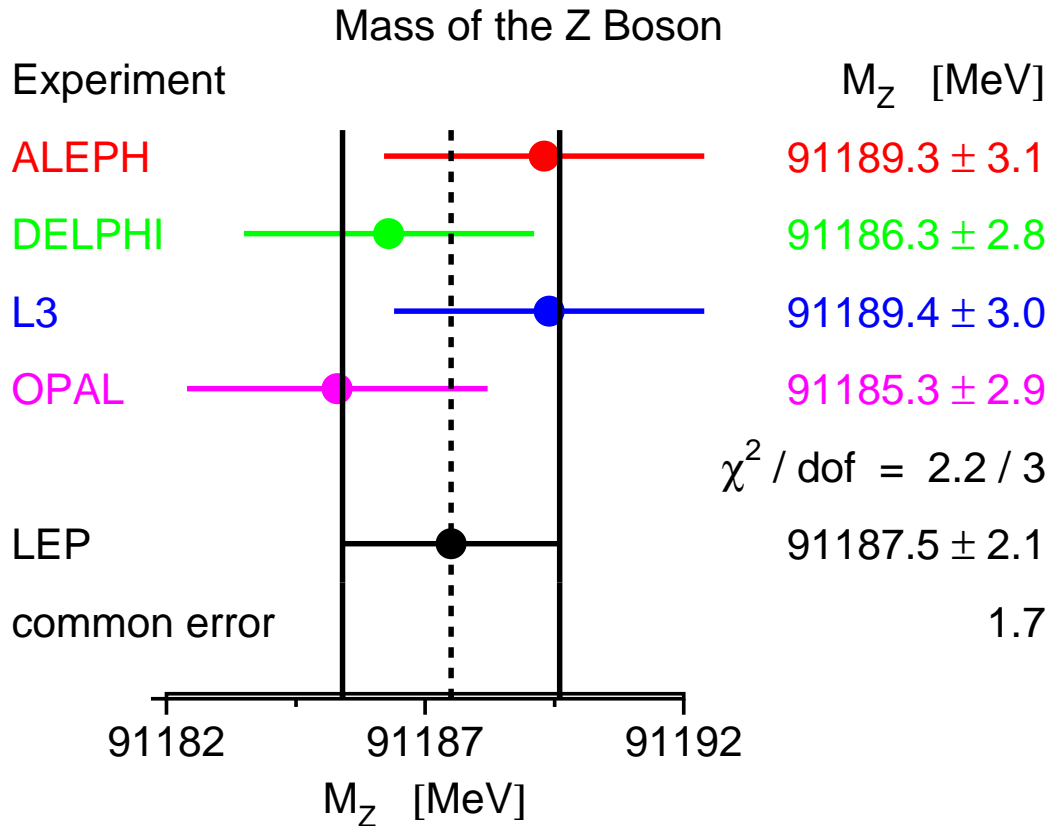
\Rightarrow

$$N_\nu = 3$$

Es gibt drei Generationen leichter Neutrinos.

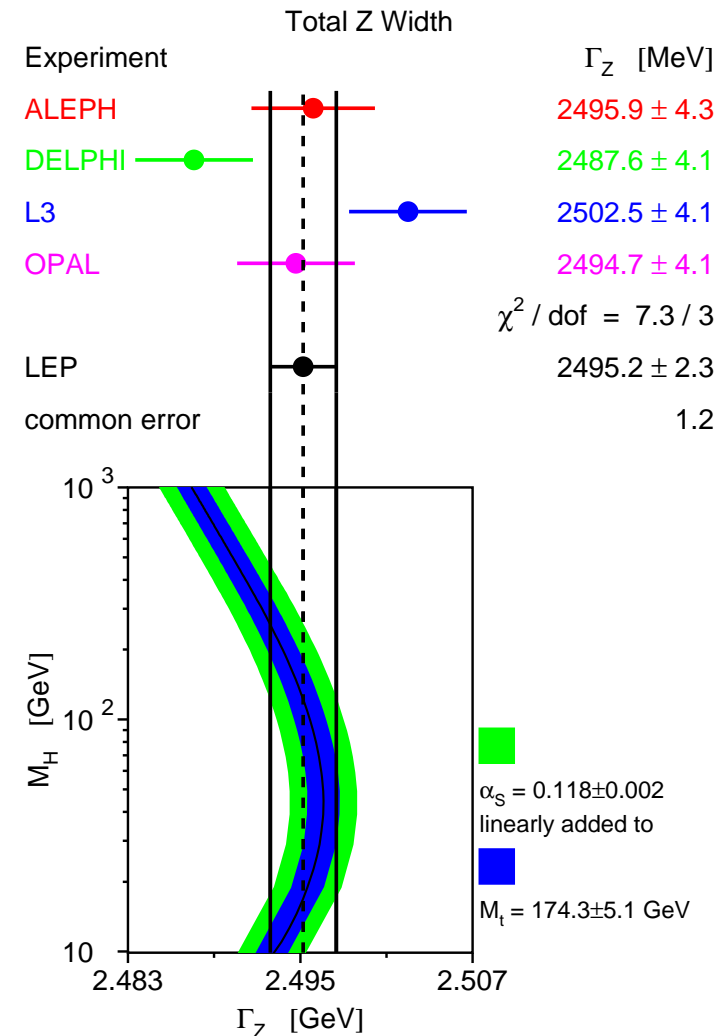


Die Masse und Breite des Z-Bosons



$-\frac{\sigma_{m_Z}}{m_Z} = 0.02 \text{ Promille!!}$

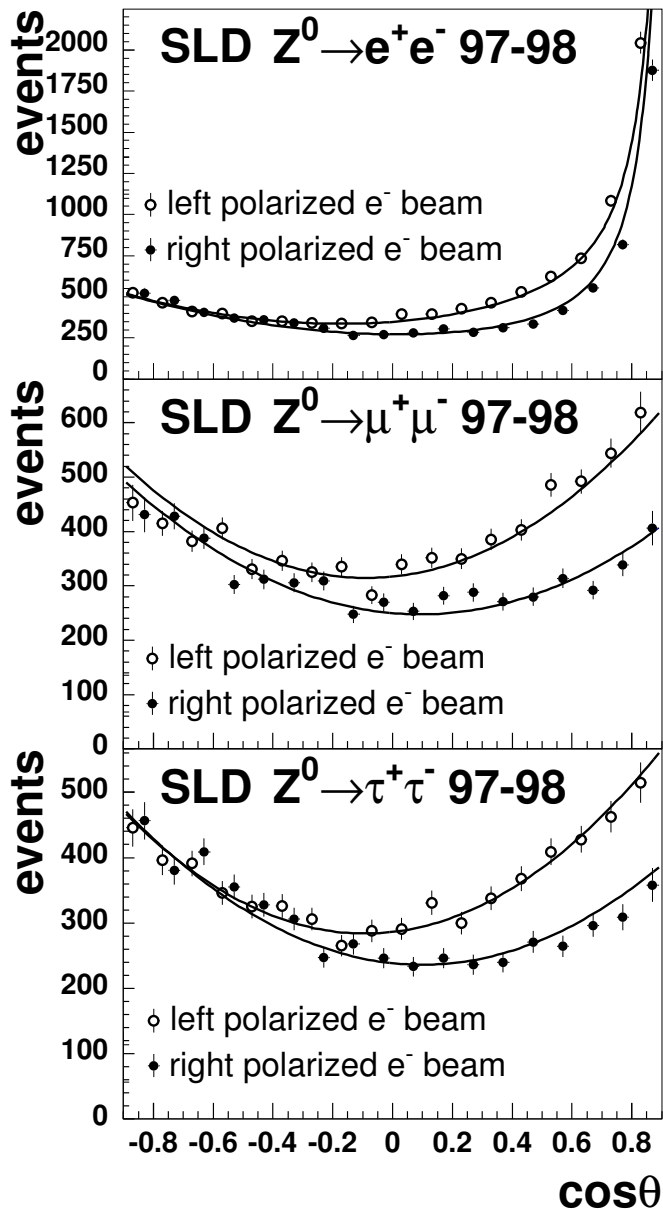
$-\frac{\sigma_{E_b}}{E_b} = 2 \cdot 10^{-5} \Rightarrow \begin{cases} \sigma_{m_Z} = 1.7 \text{ MeV} \\ \sigma_{\Gamma_Z} = 1.2 \text{ MeV} \end{cases}$



Die Masse m_Z und Breite Γ_Z sind mit sehr hoher Präzision bekannt.



Der schwache Mischungswinkel



- Am SLAC wurden polarisierte Elektronenstrahlen mit $|P_e| \approx 75\%$ und Positronstrahlen zur Kollision gebracht.

$$P_e = \frac{R-L}{R+L} = \begin{cases} -1 & \text{alle Links} \\ 0 & \text{Rechts = Links} \\ 1 & \text{alle Rechts} \end{cases}$$

- Die Asymmetrie der Wirkungsquerschnitte für links- und rechtshändige Elektronen ist:

$$A_{LR} = \frac{1}{|P_e|} \frac{N_L - N_R}{N_L + N_R} = \frac{g_L^2 - g_R^2}{g_L^2 + g_R^2} = \frac{2g_V g_A}{g_V^2 + g_A^2} = A_e,$$

da $g_{V,A} = g_L \pm g_R$. Ausserdem gilt: $\sin^2 \theta_W = \frac{1}{4} \left(1 - \frac{g_V}{g_A} \right)$.

- Die link/rechts forward/backward Asymmetrie ist:

$$\tilde{A}_{FB}^\ell = \frac{4}{3|P_e|} \frac{(N_{LF} - N_{LB}) - (N_{RF} - N_{RB})}{(N_{LF} + N_{LB}) + (N_{RF} + N_{RB})} = A_l, \quad A_{FB}^\ell = \frac{3}{4} A_e A_\ell$$

- Die Winkelverteilung ergibt sich zu:

$$\frac{d\sigma}{d \cos \theta} = C \left[(1 - P_e A_e)(1 + \cos^2 \theta) + 2(A_e - P_e) A_f \cos \theta \right]$$

$$A_e / A_\mu / A_\tau = 0.1516 \pm 0.0021 / 0.142 \pm 0.015 / 0.136 \pm 0.015$$

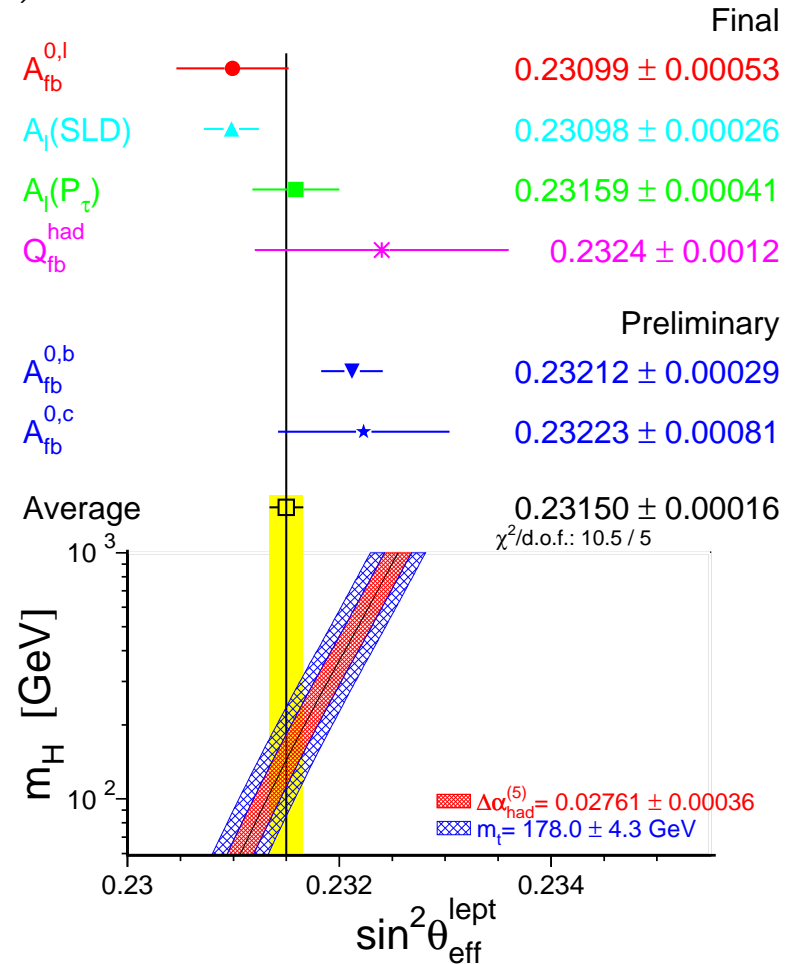
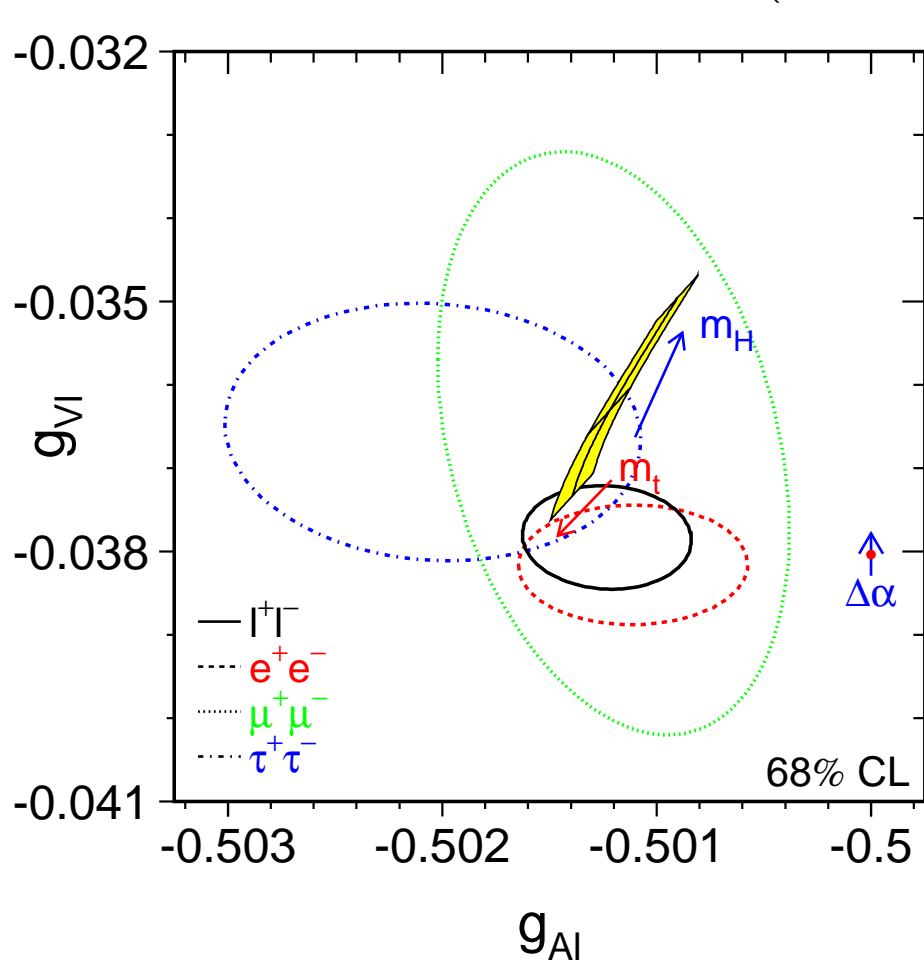
$$\Rightarrow A_\ell = 0.15130 \pm 0.00207 \text{ und } \sin^2 \theta_W = 0.23098 \pm 0.0026.$$

Die polarisierten Elektronen liefern die genaueste Messung.



Die leptonischen Kopplungen

Aus $\Gamma_{\ell\ell} = \frac{G_F m_Z^3}{6\pi\sqrt{2}} \cdot (g_{Vl}^2 + g_{Al}^2) \cdot \left(1 - \frac{3Q^2\alpha(m_Z^2)}{4\pi}\right)$ und $A_l = \frac{2g_{Vl}g_{Al}}{g_{Vl}^2 + g_{Al}^2}$ ergeben sich:

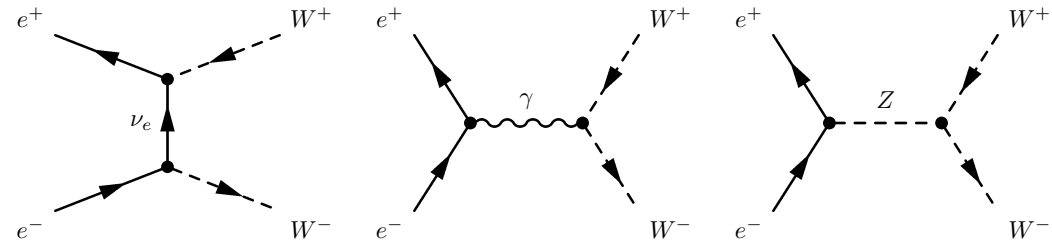


Der schwache Mischungswinkel zeigt eine der wenigen 3σ Diskrepanzen.

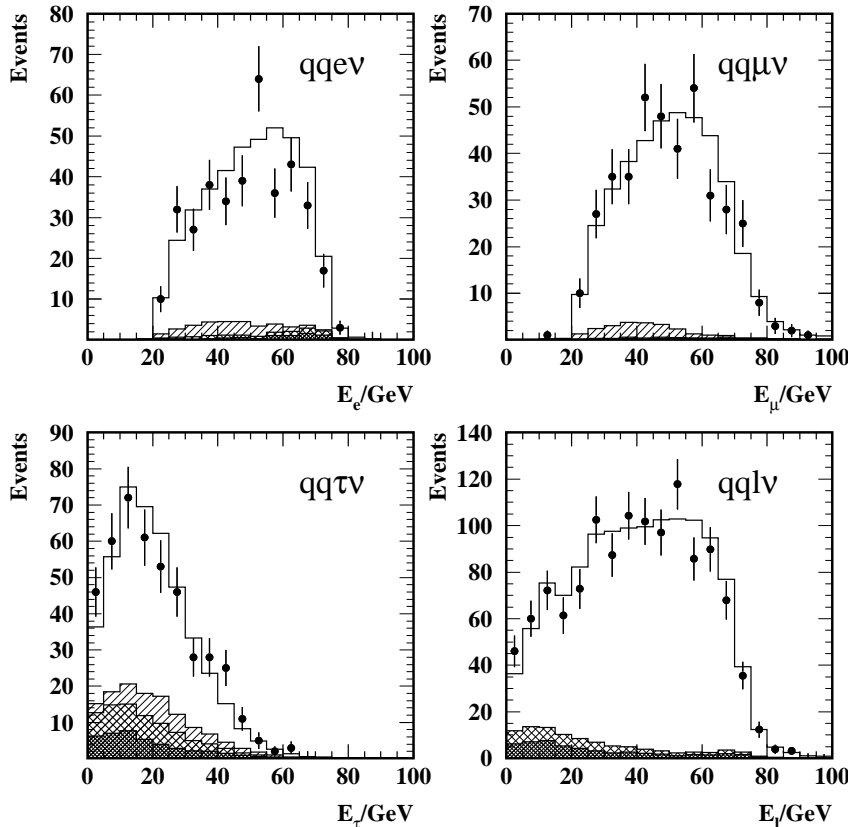


Der W-Paar Produktionsquerschnitt - ein Beispiel

– Die Feynman-Diagramme:



OPAL $\sqrt{s}=189$ GeV



CC03-Diagramme

– Die Zerfallskanäle

z. B.: $W^+ \rightarrow (e^+ \nu_e), (\mu^+ \nu_\mu), (\tau^+ \nu_\tau),$
 $N_c \cdot (u\bar{d}), N_c \cdot (c\bar{s}).$

– Das sind 9 Kanäle, also 81 Möglichkeiten für den Zerfall $W^+ W^- \rightarrow X \bar{X}.$

– Experimentell benutzt man:

	Eff.	Bgd.
$\nu_e \ell \nu_e = 3 \times 3 = 9 \Rightarrow 11\%$	82%	10%
$q\bar{q} \ell \nu_e = 6 \times 6 = 36 \Rightarrow 44\%$	87%	10%
$q\bar{q} q\bar{q} = 6 \times 6 = 36 \Rightarrow 44\%$	87%	20%

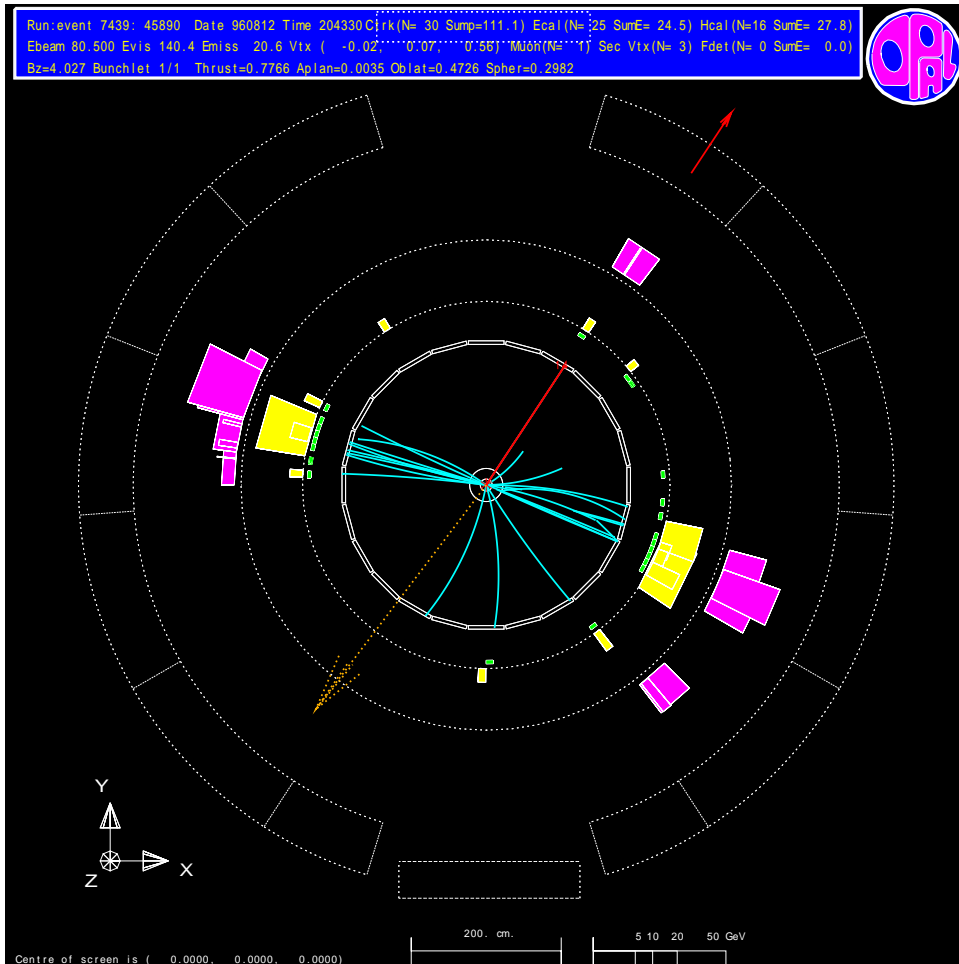
– Die τ -Kanäle sind am kompliziertesten.

Die W-Paar Produktion ist in allen Kanälen untersucht worden.

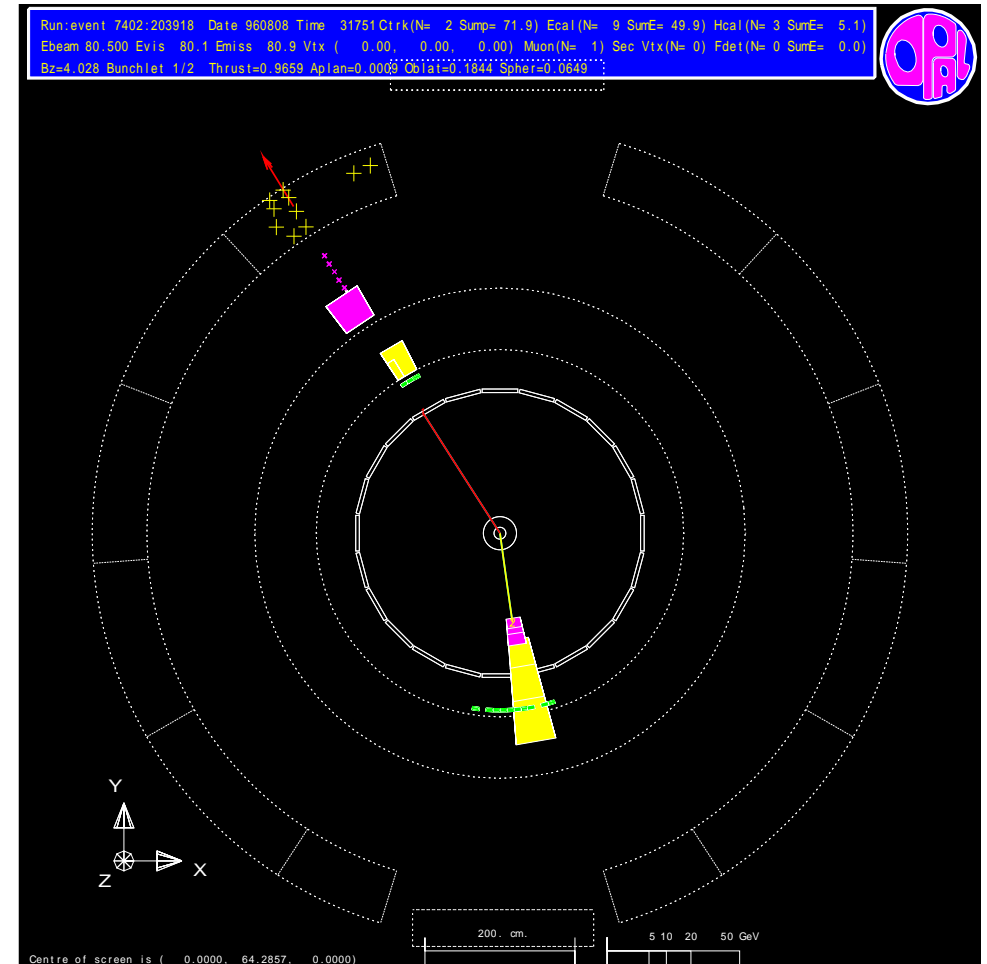


Die W-Paar Produktion - zwei Beispiele

$$W^+W^- \rightarrow \mu\nu_\mu qq'$$



$$W^+W^- \rightarrow \mu\nu_\mu e\nu_e$$

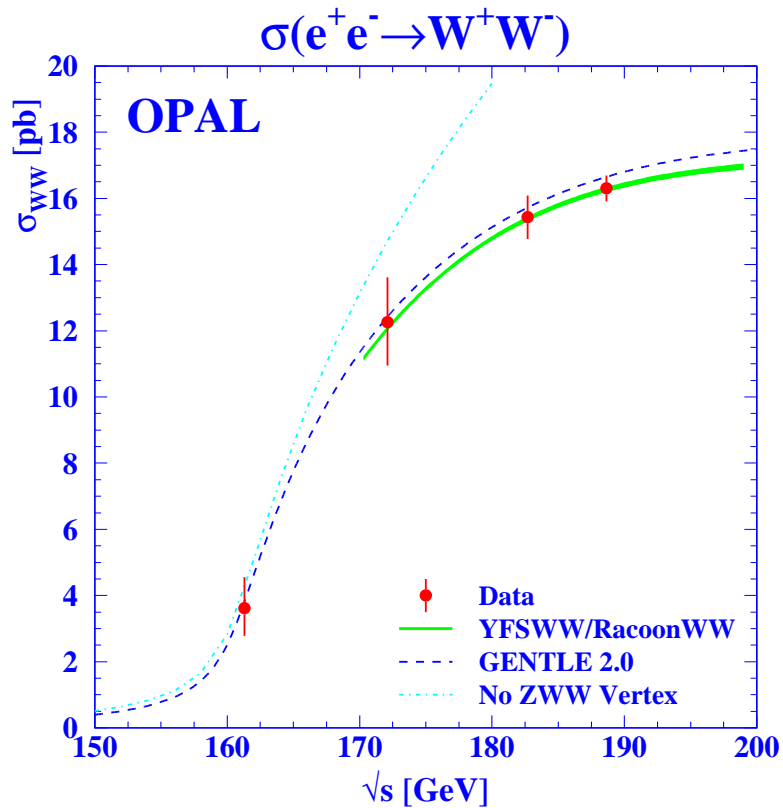


Die W-Produktion liefert klare Signaturen.

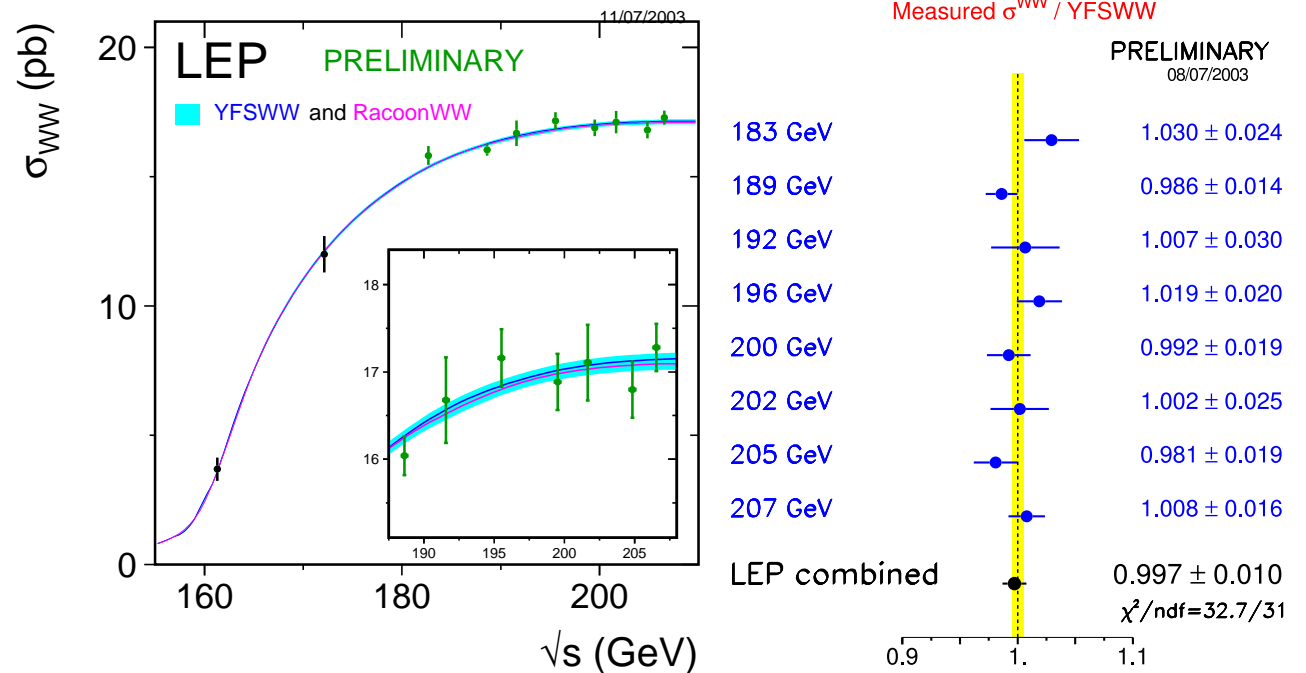


Der W-Paar Produktionsquerschnitt - das Resultat

Ein Beispiel



Die Kombination der LEP Resultate



– Das Resultat belegt klar die Existenz des ZWW Vertex.

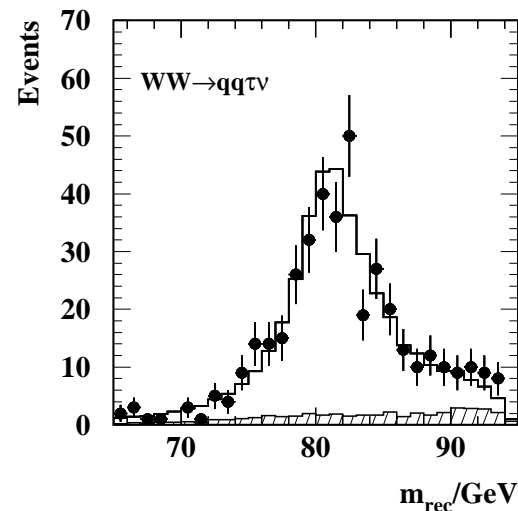
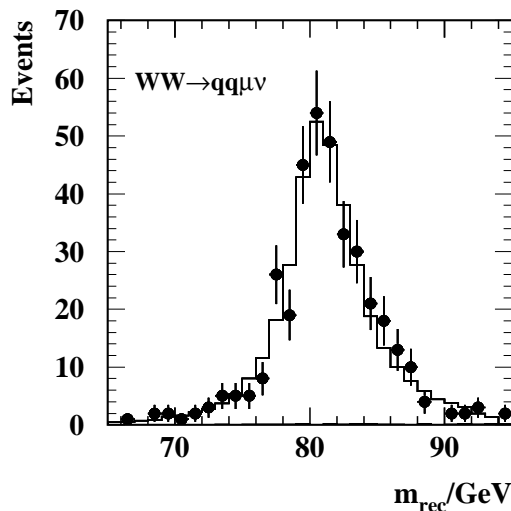
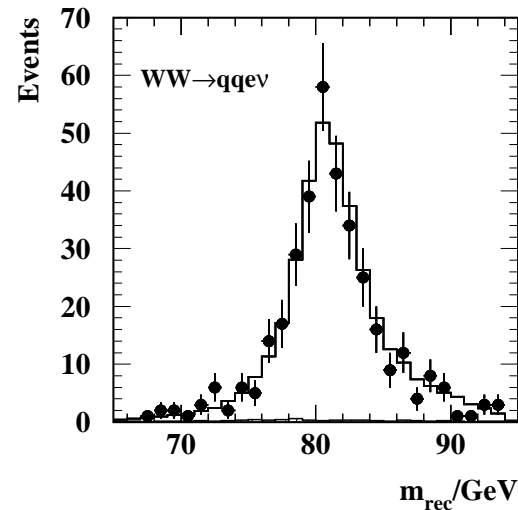
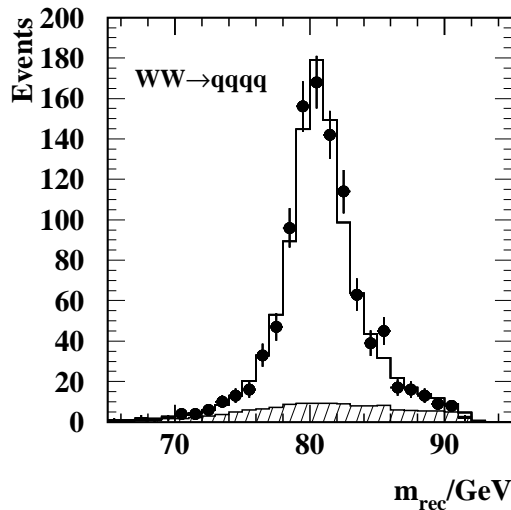
– Die W-Paar Produktion ist je Energiepunkt mit ca. 2% Genauigkeit gemessen worden.

Das Standardmodell beschreibt den Wirkungsquerschnitt mit etwa 1% Genauigkeit.



Der W-Paar Massenbestimmung - ein Beispiel

OPAL $\sqrt{s}=189$ GeV



- Die besten Kanäle sind $qq\bar{q}q\bar{q}$ und $qq\bar{q}l\nu_\ell$.
- Der Nachteil von $qq\bar{q}q\bar{q}$ sind Wechselwirkungen der Quarks verschiedener W-Bosonen, 'Color reconnection' und 'Bose-Einstein Correlation', die auftreten können, da die Zerfallslänge von 0.1 fm kleiner ist als die Reichweite der starken WW von ca. 1 fm.
- Der Nachteil von $qq\bar{q}l\nu_\ell$ ist das unsichtbare Neutrino.
- Die Massen der W-Bosonen werden durch Anpassungen mit Nebenbedingungen $\sum E = 2E_b$, $\sum \vec{p} = 0$ und $M_{W^+} = M_{W^-}$ bestimmt.
- Durch diese Constrained fits wird die Massenauflösung entscheidend verbessert.

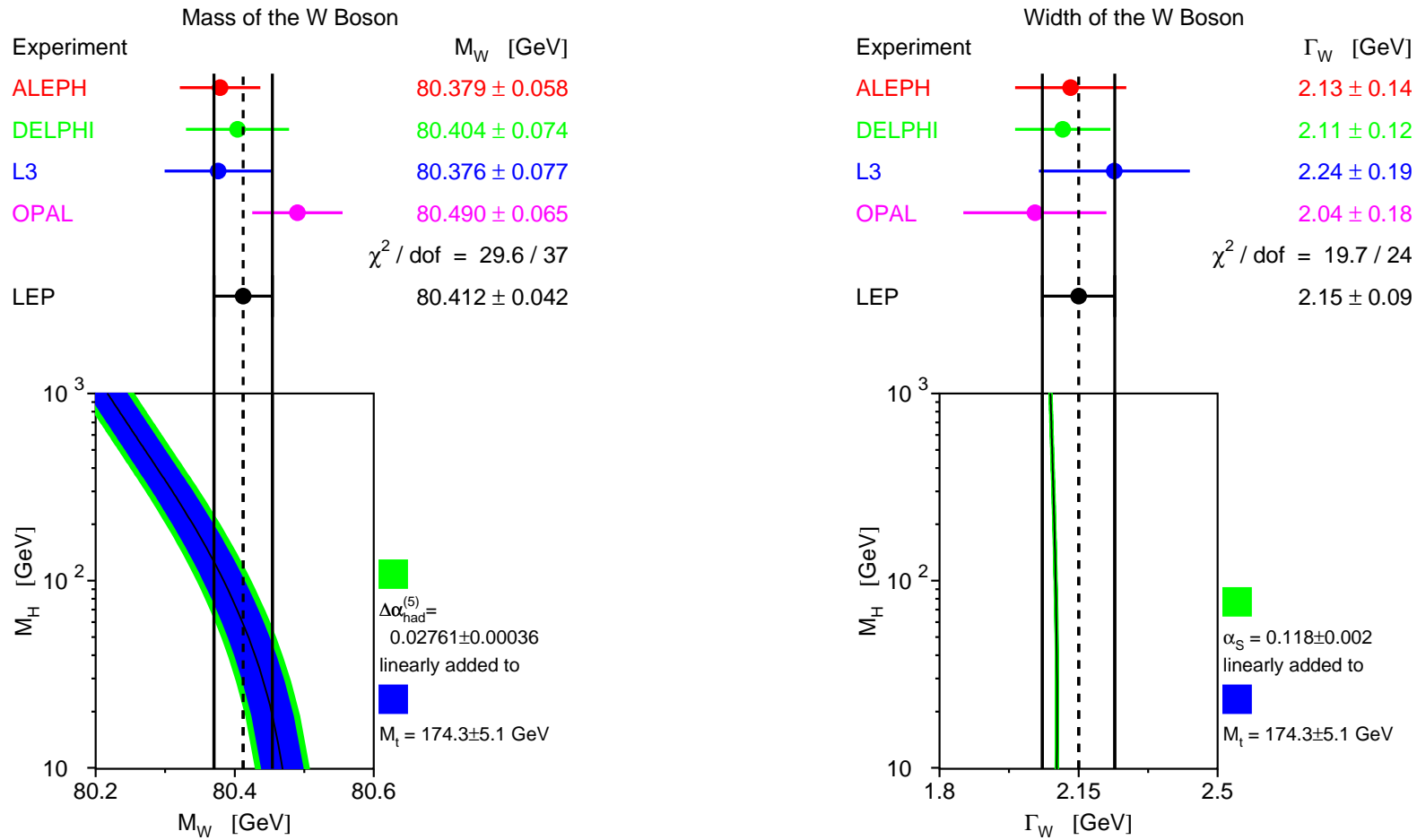
$$M(W \rightarrow qq\bar{q}l\nu_\ell) = (80.516 \pm 0.073) \text{ GeV}$$

$$M(W \rightarrow qq\bar{q}q\bar{q}) = (80.407 \pm 0.120) \text{ GeV}$$

Wegen der systematischen Unsicherheiten von $qq\bar{q}q\bar{q}$ liefert $qq\bar{q}l\nu_\ell$ das genauere Resultat.



Die Masse und Breite des W-Bosons



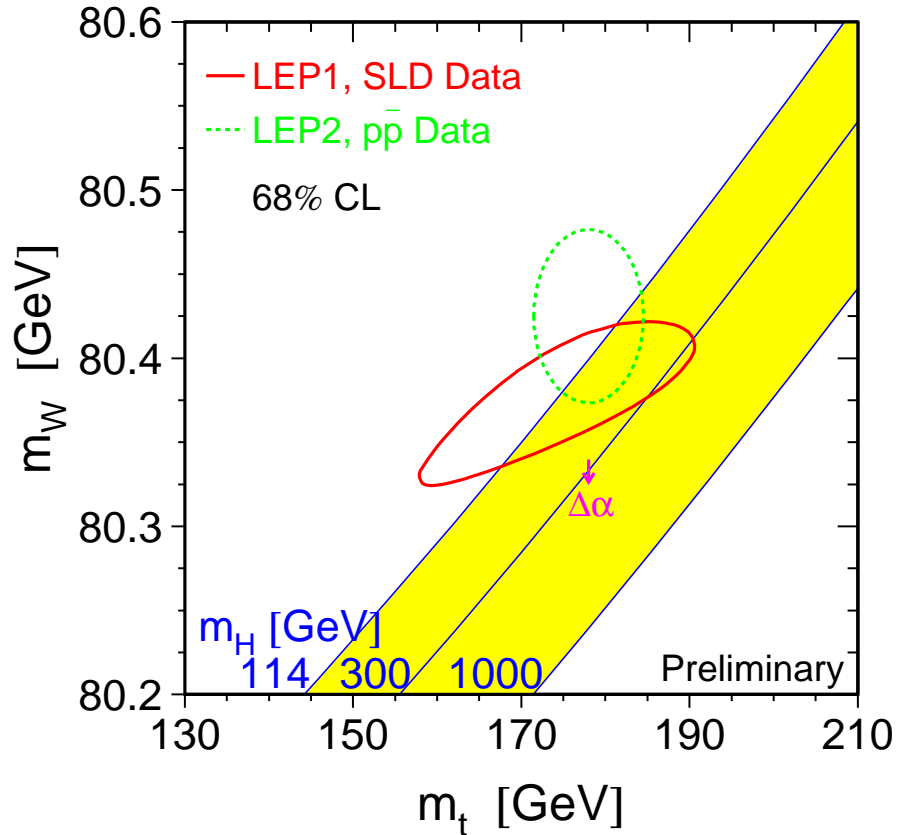
– Die indirekte Massenbestimmung liefert $M(W) = (80.387 \pm 0.023) \text{ GeV}$

Die indirekte Bestimmung der W-Masse ist immer noch genauer als die direkte.



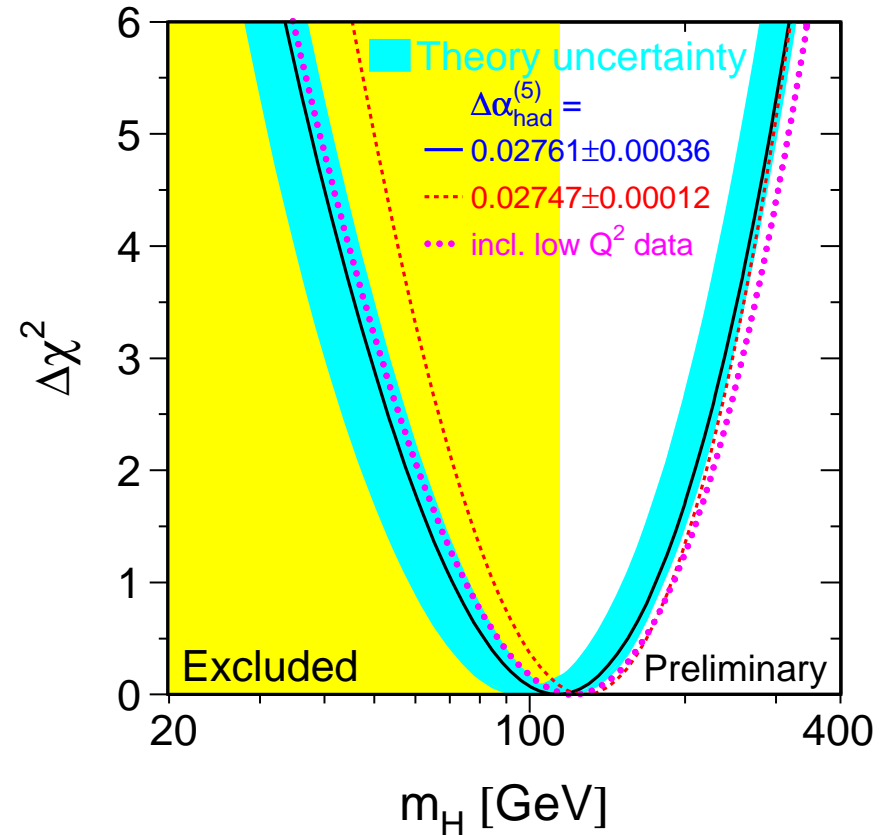
Standardmodell-Fits und die Higgs-Masse

Indirekte vs. direkte Messungen



- Gute Übereinstimmung von **direkten** und **indirekten** Messungen.

Der Fit aller Daten



- Der beste Fit $M_H = 96_{-38}^{+60}$ GeV und $M_H < 219$ GeV, mit 95% CL.

Das Standardmodell hat Promille Tests schadlos überstanden.



Zusammenfassung

- Die Entdeckung der Paritätsverletzung war ein Meilenstein zum Verständnis der schwachen Wechselwirkung.
- Das elektroschwache Standardmodell vereinigt elektromagnetische und schwache Wechselwirkung.
- Im GSW Modell koppeln die W^\pm -Bosonen an linkshändige Fermionen und rechtshändige Antifermionen. Wegen der Mischung über den Weinbergwinkel koppelt der neutrale elektroschwache Strom auch an rechtshändige Fermionen.
- Die Messungen zum Z -Boson haben die Vorhersagen des GSW Modell auf sub-Promille Genauigkeit bestätigt.
- Die W -Paar Erzeugung wurde bei LEP mit Prozent-Genauigkeit untersucht. Die indirekte Messung der W -Masse ist jedoch immer noch genauer als diese direkten Messungen.
- Das Standardmodell zeigt eine gute Konsistenz zwischen direkten und indirekten Bestimmungen der Top- und W -Massen.
- Die Wirkungsquerschnitte hängen nur logarithmisch von der Masse des hypothetischen Higgs-Bosons ab. Die präzisen Daten erlauben trotzdem eine Einschränkung der Higgs-Masse.
- Die direkte Suche nach dem Higgs-Boson geht in eine neue Runde.
Das ist das Thema der nächsten Vorlesung.